

การส่งเสริมการถ่ายเทความร้อนโดยการเผาไหม้ในวัสดุพูรุนแบบ

สลับทิศทางการไหลของส่วนผสมอย่างเป็นจังหวะ

Heat Transfer Enhancement by Cyclic Flow Reversal

Combustion of Mixture in Porous Media

กนกกาญจน์ วงศ์ธรรม สำเริง จักรใจ

ห้องปฏิบัติการวิจัยเครื่องยนต์และการเผาไหม้

ภาควิชาวิศวกรรมเครื่องกล คณะวิศวกรรมศาสตร์ มหาวิทยาลัยเทคโนโลยีพระจอมเกล้าธนบุรี

91 ถ.ประชาอุทิศ(สุขสวัสดิ์ 48) แขวงบางมด เขตทุ่งคู กรุงเทพ 10140

โทร (662)470-9111 โทรสาร (662)470-9111 E-Mail: isumgjai@cc.kmutt.ac.th

Kanokkan Wrongwatcharaphon, Sumreung Jugjai

Combustion and Engine Research Laboratory (CERL)

Department of Mechanical Engineering, Faculty of Engineering, King Mongkut's University of Technology Thonburi,
91 Prachaouthit Road (Suksawad 48) Bangmod, Thung Kharu District, Bangkok 10140

บทคัดย่อ

บทความนี้กล่าวถึงการศึกษาแบบจำลองทางคณิตศาสตร์เพื่อส่งเสริมการถ่ายเทความร้อนสู่อากาศโดยการเผาไหม้เชื้อเพลิง LPG ในวัสดุพูรุนแบบสลับทิศทางการไหลของไอดีอย่างเป็นจังหวะ ในการศึกษาจะพิจารณาแบบจำลองทางคณิตศาสตร์ในแบบหนึ่งมิติทั้งการไหลและการแพร่รังสีความร้อน เพื่อศึกษาถึงกลไกการเผาไหม้ของไอดีภายใต้การแพร่รังสีความร้อนของวัสดุพูรุนและการถ่ายเทความร้อนจากการเผาไหม้สู่อากาศ จากการนี้คาดผลเฉลยโดยประมาณเบี่ยงเบี้ยนเชิงตัวเลข และศึกษาถึงอิทธิพลของพารามิเตอร์ต่างๆที่มีผลต่อโครงสร้างทางความร้อนและประสิทธิภาพการถ่ายเทความร้อนสู่อากาศ เช่น ความหนาเชิงแสงของวัสดุพูรุน ความเร็วของไอดี เวลาที่ใช้ในการสลับทิศทางการไหลของไอดีอย่างเป็นจังหวะ ค่า equivalence ratio และอัตราการไอนของอากาศ เป็นต้น พร้อมทั้งเบี่ยงเบี้ยนผลการทดลอง (แยกทำต่างหาก) กับผลการคำนวณทางทฤษฎีเพื่อทราบความแม่นย้ำการคำนวณของแบบจำลองทางคณิตศาสตร์ ผลการวิจัยที่ได้สามารถนำไปใช้ในการออกแบบอุปกรณ์และเปลี่ยนความร้อนประสิทธิภาพสูงและเพื่อใช้ในอุตสาหกรรมได้ ในเบื้องต้น

นี้ได้ทำการแสดงผลการคำนวณของระบบกรณีที่ยังไม่มีการทำความร้อนแล้วเบรียบเทียบกับผลการทดลองที่หาได้ เพื่อทดสอบความแม่นยำของแบบจำลองทางคณิตศาสตร์ก่อน พัฒนาไปสู่การวิเคราะห์โดยมีภาระทางความร้อนต่อไป จากผลการเบรียบเทียบดังกล่าว พบว่าแบบจำลองที่ใช้ให้ผลลัพธ์ที่สอดคล้องกับผลการทดลองเป็นอย่างต่ำทั้งในเชิงปริมาณและคุณภาพ

Keywords:วัสดุพูรุน/การถ่ายเทความร้อนโดยการแพร่รังสี/การเผาไหม้

Abstract

This paper study mathematical model of heat transfer with cyclic flow reversal combustion to air by LPG. The flow and the radiative heat transfer are assumed to be one dimensional. Attention was focused on combustion system in radiation dominated heat transfer of porous medium and heat transfer to air. Mathematical model of the combustion system is formulated and solved by a numerical method for

studying influence of various parameter that affect thermal structure and efficiency of heat transfer to air i.e. optical thickness, flow velocity, half-period, equivalence ratio and air flow rate. Comparison between the theoretical results and the experimental ones (separate studies) were made so as to investigate the validity of the proposed model. The results agree qualitatively and quantitative with available experimental results for the case of without thermal load. Further studies for the case of with thermal load (air flow) will be performed in the near future.

Keywords: Porous Medium / Radiation / Combustion

1. NOMENCLATURE

A	= frequency factor for combustion [s^{-1}]
A_p	= surface area of particle [m^2]
c_p	= (gas) specific heat at constant pressure [$J/kg^{-1}K^{-1}$]
D	= diffusivity [$m^2 s^{-1}$]
d_p	= diameter of equivalent sphere of porous medium [m]
E	= activation energy [kJ/kmol]
E_n	= exponential integral function, n=1, 2, 3
h, K_w	= heat transfer coefficient [$W m^{-2} K^{-1}$]
h_o	= heating value of mixture [$J kg^{-1}$]
q_r	= radiative heat flux [$W m^{-2}$]
k	= overall heat transmission coefficient for the heat loss [$W m^{-1} K^{-1}$]
L, L_y	= length [m]
I	= intensity of radiation [$W m^{-2}$]
n_p	= number density of particle [m^{-3}]
R	= gas constant [kJ/kmol K]
RR	= dimensionless rate of reaction
T	= (gas) or air temperature [K]
T_s	= solid temperature [K]
t_{hp}	= half-period [s]
t	= time [s]
u	= (gas) velocity [$m s^{-1}$]
Y	= mass fraction of product

W = reaction rate [$kg m^{-3} s^{-1}$]

x, y = distance

Greek symbols

κ	= absorption coefficient [m^{-1}]
λ	= (gas) thermal conductivity [$W m^{-1} K^{-1}$]
μ	= (gas) viscosity [$kg m^{-1} s^{-1}$]
ρ	= (gas) density [$kg m^{-3}$]
σ	= Stefan-Boltzmann constant [$W m^{-2} K^4$]
ϕ	= equivalence ratio
τ	= optical thickness = κx
τ'	= dummy variable of integration
ε	= emissivity

Superscripts

$+$	= positive direction
$-$	= negative direction
n	= net

Subscripts

adi	= adiabatic
b	= black body
e, d	= exit plane or downstream
m	= mean value
max	= maximum
0, u	= ambient temperature or inlet plane or upstream
s	= solid
g	= gas phase
p	= particle
s	= solid
out	= outlet, outside
in	= inlet, inside
w	= wall

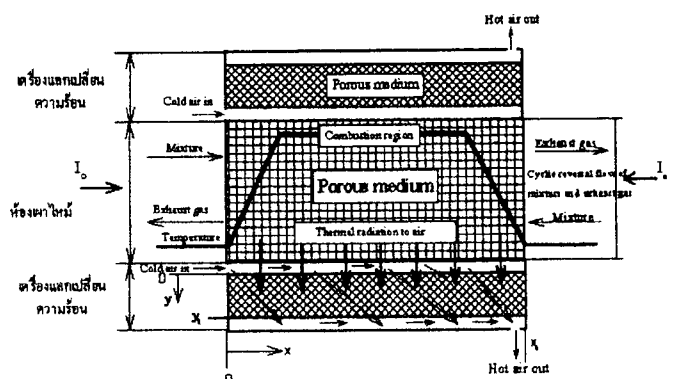
2. บทนำ

การเผาไหม้ในวัสดุพูน (porous media) เป็นการเผาไหม้แบบ 2 สถานะ(multiphase)ประกอบด้วยสถานะของแข็ง (solid phase) คือวัสดุพูนและสถานะก๊าซ (gas phase) เนื่องจากวัสดุพูนดังกล่าวมีลักษณะเด่นคือมีอัตราส่วนพื้นที่ต่ำปริมาตรสูงมากจึงมีค่าการแพร่งสีและดูดกลืนรังสีความ

ร้อน (emissivity and absorptivity) ที่สูงกว่าสถานะก้ามมาก ทำให้ปรากฏการณ์การเกิดปฏิกิริยาทางเคมี(chemical reaction) และการถ่ายเทความร้อน(heat transfer) ในเปลวไฟเป็นไปในลักษณะที่เรียกว่า "Excess Enthalpy Combustion" กล่าวคือให้อุณหภูมิของเปลวไฟมีค่าสูงกว่า อุณหภูมิทางทฤษฎีมากทำให้มีประสิทธิภาพการเผาไหม้สูง และประหยัดเชื้อเพลิง K.Hanamura และคณะ[1,2]ได้ทำการศึกษาแบบจำลองทางคณิตศาสตร์ของการเผาไหม้ภายในวัสดุพูนที่มีการกลับตัวทางการไหลของไออดีอย่างเป็นจังหวะพบว่า ที่ $\Phi = 0.036$ $u=0.86 \text{ m/s}$ และ $t_{hp} = 20 \text{ s}$ อุณหภูมิสูงสุดของก้ามมีค่า 1050°C ซึ่งอุณหภูมิทางทฤษฎีมีค่าเพียง 104°C เท่านั้น จะเห็นว่าอุณหภูมิสูงสุดของก้ามมีค่ามากกว่าอุณหภูมิทางทฤษฎีถึง 10 เท่า อีกทั้งยังสามารถที่จะเผาไหม้เชื้อเพลิงที่มีค่าความร้อนต่ำๆและความร้อนสูงๆได้อีกด้วยทำให้ช่วยการทำงานของการเผาไหม้มากกว้างขึ้น

จากเหตุผลที่ได้กล่าวมาการศึกษานี้จึงได้พยายามประยุกต์การศึกษาการเผาไหม้ในวัสดุพูนแบบกลับตัวทางการไหลของไออดีอย่างเป็นจังหวะเพื่อเพิ่มสัมประสิทธิ์การถ่ายเทความร้อนสู่อากาศ โดยในห้องเผาไหม้นั้นได้ใช้หลักการของการเผาไหม้ในวัสดุพูนแบบกลับตัวทางการไหลของไออดีอย่างเป็นจังหวะ ส่วนรอบๆห้องเผาไหม้ก็ให้ใช้หลักการของวัสดุพูนมาช่วยในการแลกเปลี่ยนความร้อน ซึ่งสามารถคาดการได้ว่าจะทำให้ได้เครื่องแลกเปลี่ยนความร้อนที่มีประสิทธิภาพสูงและประหยัดพลังงานเป็นอย่างมาก ในการศึกษานี้ได้ทำการจำลองเตาเผาไหม้และอุปกรณ์แลกเปลี่ยนความร้อนให้อยู่ในรูปแบบจำลองทางคณิตศาสตร์แล้วแก้สมการคณิตศาสตร์เพื่อหาโครงสร้างทางความร้อนของระบบ เช่น อุณหภูมิของก้าม อุณหภูมิของแข็ง เป็นต้นเพื่อทราบและเข้าใจถึงปรากฏการณ์และอิทธิพลของดัชน้ำต่างๆ ที่มีผลต่อสมรรถนะการเผาไหม้และการถ่ายเทความร้อนสู่อากาศ ทั้งนี้เพื่อนำไปสู่การประยุกต์ใช้งานจริงต่อไปในโรงงานอุตสาหกรรมประเภทที่ต้องใช้พลังงานความร้อนโดยการใช้อากาศเป็นตัวกลางในการส่งผ่านความร้อน ในการศึกษานี้ยังได้ทำการทดสอบแบบจำลองทางคณิตศาสตร์และโปรแกรมคอมพิวเตอร์เพื่อเปรียบเทียบผลการคำนวณกับผลการทดลองที่หาได้กรณีที่ยังไม่มีการทำทางความร้อน(ยังไม่มีอากาศเย็นให้ผ่านอุปกรณ์แลกเปลี่ยนความร้อน) เพื่อตรวจสอบความแม่นยำของแบบจำลองทางคณิตศาสตร์ก่อนนำไปสู่การคำนวณกรณีที่มีการทำทางความร้อนต่อไป

3. แบบจำลองทางคณิตศาสตร์



รูปที่ 1 แบบจำลองทางคณิตศาสตร์

จากรูปที่ 1 ระบบแบ่งออกเป็นสองส่วนคือ ส่วนของห้องเผาไหม้ภายในบรรจุวัสดุพูน(porous medium) และส่วนของ การแลกเปลี่ยนความร้อนซึ่งวางปะกัน ในลักษณะเป็นแผ่นขนาด mixture(อากาศ+LPG) ให้ผ่านเข้ามาในห้องเผาไหม้ซึ่งมีความยาว x_0 และมีความหนาเชิงแสง T_0 การไหลของไออดีจะถูกกลับตัวทางการอย่างเป็นจังหวะ พร้อมกับเกิดการเผาไหม้ที่บริเวณตรงกลางของวัสดุพูน ทำให้ผังห้องเผาไหม้มีอุณหภูมิสูงมากและจะส่งพลังงานการแพร่องสีไปให้กับอากาศเย็นโดยผ่านกลไกการทำงานของวัสดุพูนที่วางแผนอยู่ทำให้อากาศมีอุณหภูมิสูงขึ้นอย่างมีประสิทธิภาพ สมมุติฐานหลักของแบบจำลองนี้มีดังนี้

(a) ไม่คิดการแพร่องสีความร้อนของก้ามเนื่องจากมีค่าน้อยมากเมื่อเทียบกับของแข็ง

(b) พิจารณาการไหลและการแพร่องสีแบบ 1 มิติ มีตัวทางคามแนวแกน x หรือ แกน y ขึ้นอยู่กับว่าเป็นห้องเผาไหม้ หรือเครื่องแลกเปลี่ยนความร้อน เท่านั้น การไหลของ mixture เป็นแบบ incompressible และความดันคงที่

(c) สมมุติให้ปฏิกิริยาการเผาไหม้เป็นแบบ irreversible single step first order reaction (reaction \rightarrow product + heat) แบบ Arrhenius

(d) คุณสมบัติทางฟิสิกส์อื่นๆ มีค่าคงที่

จากสมมุติฐานดังกล่าวสามารถเขียนสมการสมดุลพลังงาน(energy equation) และสมการต่างๆ ที่เกี่ยวข้องได้

4. สมการสมดุลพลังงานที่ห้องเผาไหม้

การเผาไหม้จะพิจารณาเป็น One-step first order reaction แบบ Arrhenius ดังนั้นจึงต้องพิจารณาสมการ Species conservation ด้วย

4.1 Species equation

ที่ $0 \leq x \leq x_e$

$$\rho \frac{\partial Y}{\partial t} + \rho u \frac{\partial Y}{\partial x} = D\rho \frac{\partial^2 Y}{\partial x^2} + w \quad (1)$$

โดยที่ อัตราการเกิดปฏิกิริยา คือ

$$w = A\rho(1-Y) \exp(-E/RT) \quad (2)$$

4.2 Gas phase equation

ที่ $0 \leq x \leq x_e$

$$\rho_p \frac{\partial T}{\partial t} + \rho u_p \frac{\partial T}{\partial x} = \lambda \frac{\partial^2 T}{\partial x^2} + h_p n_p A_p (T - T_s) - \frac{2K}{r} (T - T_w) \quad (3)$$

4.3 Solid phase equation

ที่ $0 \leq x \leq x_e$

$$\rho_s c_{ps} \frac{\partial T_s}{\partial t} = \lambda_s \frac{\partial^2 T_s}{\partial x^2} - \frac{\partial q_r^n}{\partial x} + h_p n_p A_p (T - T_s) \quad (4)$$

4.4 Radiative heat flux และ Divergent of net radiative heat flux

ที่ $0 \leq x \leq x_e$

$$q_r^+(\tau) = 2\pi [I_{x0} E_3(\tau) + \int_0^\tau I_b(\tau') E_2(\tau - \tau') d\tau'] \quad (5)$$

$$q_r^-(\tau) = -2\pi [I_{xe} E_3(\tau_e - \tau) + \int_\tau^\infty I_b(\tau') E_2(\tau' - \tau) d\tau'] \quad (6)$$

$$\frac{\partial q_r(\tau)}{\partial x} = -2\pi \kappa [I_{x0} E_2(\tau) + I_{xe} E_2(\tau_e - \tau) - 2I_b(\tau) + \int_0^\tau I_b(\tau') E_1(|\tau - \tau'|) d\tau'] \quad (7)$$

โดยที่ $q_r^n(\tau) = q_r^+(\tau) + q_r^-(\tau)$ (8)

$$I_b(\tau) = \frac{\sigma T_s^4}{\pi} \quad (9)$$

$$E_n(\tau) = \int_0^\infty \mu^{n-2} \exp(-\tau/\mu) d\mu \quad (10)$$

4.5 สมการสมดุลพลังงานที่ผนังห้องเผาไหม้

$$\int_A h(T(x) - T_w) dA = \sigma T_w^4 A \quad (11)$$

4.6 สมการส่วนของการแลกเปลี่ยนความร้อน

4.6.1 Gas phase energy equation

$$(\rho c_p)_{air} \frac{\partial T}{\partial t} + (\rho u c_p)_{air} \frac{\partial T}{\partial y} = \lambda \frac{\partial^2 T}{\partial y^2} - h_p n_p A_p (T - T_s) \quad (12)$$

4.6.2 Solid phase energy equation

$$\rho_s c_{ps} \frac{\partial T_s}{\partial t} = \lambda_s \frac{\partial^2 T_s}{\partial y^2} - \frac{\partial q_r}{\partial y} + h_p n_p A_p (T - T_s) \quad (13)$$

4.6.3 Divergence of net radiative heat flux

$$\frac{\partial q_r(\tau)}{\partial y} = -2\pi \kappa [I_{x0} E_2(\tau) + I_{xe} E_2(\tau_e - \tau) - 2I_b(\tau) + \int_0^\tau I_b(\tau') E_1(|\tau - \tau'|) d\tau'] \quad (14)$$

4.6.4 Radiative heat flux

$$q_r^n(\tau) = q_r^+(\tau) + q_r^-(\tau) \quad (15)$$

$$q_r^+(\tau) = 2\pi [I_{x0} E_3(\tau) + \int_0^\tau I_b(\tau') E_2(\tau - \tau') d\tau'] \quad (16)$$

$$q_r^-(\tau) = -2\pi [I_{xe} E_3(\tau_e - \tau) + \int_\tau^\infty I_b(\tau') E_2(\tau' - \tau) d\tau'] \quad (17)$$

โดยที่

$$q_r^n(\tau) = q_r^+(\tau) + q_r^-(\tau) \quad (18)$$

$$I_b = \frac{\sigma T_s^4}{\pi} \quad (19)$$

$$E_n(\tau) = \int_0^\infty \mu^{n-2} \exp(-\tau/\mu) d\mu \quad (20)$$

5. Boundary conditions และ Initial conditions

5.1 Boundary conditions

กรณีไอเดียหลักในทิศทางจากซ้ายไปขวา (forward flow)

$$T_g = T_0 \quad \text{เมื่อ } t \geq 0, x = 0$$

$$\frac{\partial T_g}{\partial x} = \text{constant} \quad \text{เมื่อ } t \geq 0, x = L$$

$$y = 0 : T = T_0, \quad y = y_e : \frac{\partial T}{\partial y} = 0 \quad (21)$$

$$\text{การหา } T_s \left\{ \begin{array}{l} y = y_e \\ x = L, t > 0s \end{array} \right\} \text{ และ } T_s \left\{ \begin{array}{l} y = 0 \\ x = 0, t > 0s \end{array} \right\}$$

จะหาได้จากการอินทิเกรท half control volume จากสมการของของแข็ง สำหรับ boundary บริเวณทางเข้าและทางออก มีความเข้มของการแลกเปลี่ยนความร้อน จึงพิจารณาสิ่งแวดล้อมเสมอเมื่อเป็นวัตถุดำที่มีอุณหภูมิเท่ากับ อุณหภูมิห้อง $T_b = T_0 = 303$ K ดังนี้

$$\begin{aligned} I_{x0} &= I^+(0) = \sigma T_0^4 / \pi \quad \text{เมื่อ } t \geq 0, x = 0 \\ I_{x0} &= I^+(0) = \sigma T_0^4 / \pi \quad \text{เมื่อ } t \geq 0, x = L \\ I_{y0} &= I^+(0) = \sigma T_w^4 / \pi \quad \text{เมื่อ } t \geq 0, y = 0 \\ I_{ye} &= I^-(L_y) = \sigma T_0^4 / \pi \quad \text{เมื่อ } t \geq 0, y = L_y \end{aligned} \quad (22)$$

5.2 Initial conditions

ใช้ผลการทดลองที่หาได้ของการเผาไหม้โดยยังไม่ใส่ภาระทางความร้อน[4] เป็นไปตามเงื่อนไขเริ่มต้นในการคำนวณ

Method of solution

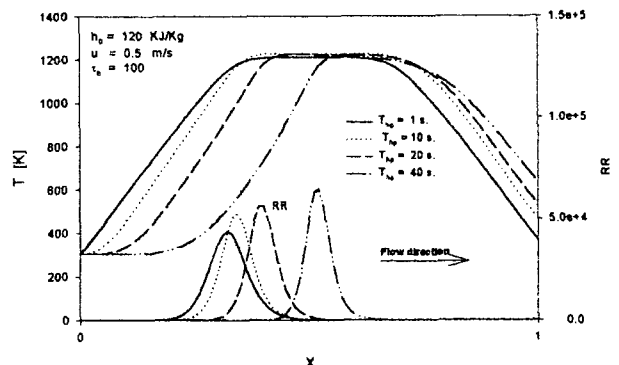
สมการข้างต้นจะถูกเปลี่ยนให้อยู่ในรูปสมการรีทันวายและจัดให้อยู่ในรูปสมการ finite difference และแก้สมการโดยใช้วิธี implicit finite difference เพื่อหาค่าตอบของ การกระจายอุณหภูมิของกําช (T) อุณหภูมิของแข็ง (T_w) product mole fraction ของผลิตภัณฑ์ (Y) อุณหภูมิที่ผ่านห้องเผาไหม้ (T₀) การกระจายอุณหภูมิของอากาศ (T_{air}) และอุณหภูมิของแข็งในเครื่องแยกเปลี่ยนความร้อน

การคำนวณจะแบ่งระยะเวลาออกเป็น 100 meshes ในช่วงของวัสดุพรุน การคำนวณเพื่อหาค่าตอบในแต่ละช่วงเวลา (time step) จะใช้วิธีการคำนวณซ้ำ (iterative procedure) จนกระทั่งผลลัพธ์ที่คำนวณได้ถูกเข้าหาค่าตอบโดยมี convergence criterion = 10^{-6} และ steady state criterion = 10^{-4} (โครงสร้างทางความร้อนที่ได้จากการคำนวณที่เวลาสุดท้ายของไซเคิลก่อนหน้า เปรียบเทียบกับโครงสร้างทางความร้อนที่ได้จากการคำนวณที่เวลาสุดท้าย เช่นเดียวกันของไซเคิลปัจจุบันในทิศทางการไหลเดียวกัน โดยถ้ามีความแตกต่างกันน้อยกว่า 10^{-4} ในทุกๆ node point แล้วจะเป็นการเสร็จสิ้นการคำนวณและได้ค่าตอบ) หลังจากนั้นตรวจสอบความถูกต้องของผลที่ได้จากแบบจำลองทางคณิตศาสตร์ โดยการทำ global energy balance และ local energy balance ซึ่ง error จากการคำนวณ global energy balance อยู่ในช่วง 0.2 – 5.0 %

6. ผลและการวิจารณ์

เพื่อเป็นการทดสอบความแม่นยำของแบบจำลองทางคณิตศาสตร์ จึงได้ทดสอบโปรแกรมและเปรียบเทียบกับผลการทดลองที่หาได้ โดยยังไม่มีภาระทางความร้อนเป็นการเบื้องต้นก่อนในกรณีของอิทธิพลของตัวแปรต่างๆ ดังนี้

6.1 อิทธิพลของช่วงเวลาในการสับทิศทางการไหล (t_{hp})



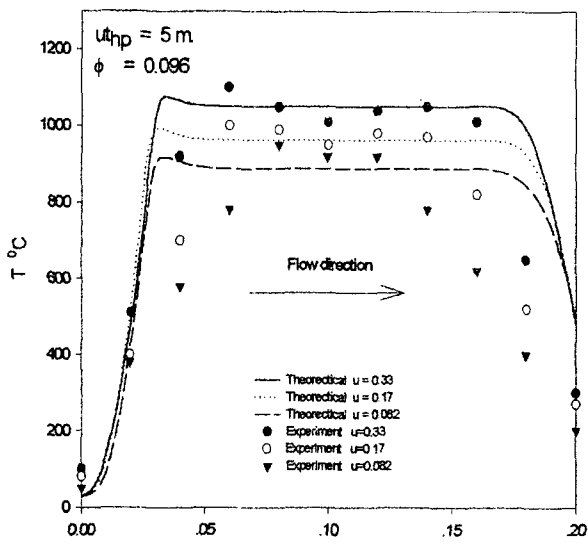
รูปที่ 2 อิทธิพลของค่า t_{hp}

รูปที่ 2 แสดงอิทธิพลของช่วงเวลาในการสับทิศทางการไหลของไอดี (t_{hp}) ที่มีผลต่อโครงสร้างทางความร้อน คือ T และ RR โดยพิจารณาเฉพาะทิศทางการไหลของไอดีจากซ้ายไปขวา ที่ $h_0 = 120 \text{ kJ/kg}$ $u = 0.5 \text{ m/s}$ $T_e = 100$ เมื่อ t_{hp} เพิ่มขึ้นเป็นไฟล์จะมีเวลาที่จะเคลื่อนที่เข้าไปในวัสดุพรุนมากขึ้น (เลื่อนตัวจากซ้ายไปขวา) ส่วน T_{max} มีค่าคง 1200 K มีค่าค่อนข้างสูงมากและมีค่าค่อนข้างคงที่ไม่ค่อยเปลี่ยนแปลงไปกับ t_{hp} อาจเนื่องมาจากในกรณีที่ t_{hp} น้อยๆ จะพบว่าเวลาที่ไอดีจะสัมผัสถกับวัสดุพรุนมีน้อยทำให้ไอดีถูกซับพลังงานความร้อนไว้น้อย ขณะเดียวกันการสูญเสียความร้อนเนื่องจากการพาและ การแผรังสีความร้อนมีค่าน้อย เช่นเดียวกันเนื่องจากมีเวลาสั้น ในทางตรงกันข้ามเมื่อ t_{hp} มีค่ามากๆ เวลาที่ไอดีจะสัมผัสถกับวัสดุพรุนมีมากทำให้ไอดีถูกซับพลังงานความร้อนไว้ได้มาก ขณะเดียวกันการแผรังสีความร้อนก็มากเช่นเดียวกันเนื่องจากมีเวลานาน ดังนั้นจะเห็นได้ว่าทั้งสองกรณีมีการหักล้างกันอยู่ในตัว จึงทำให้ T_{max} มีค่าค่อนข้างคงที่ไม่ค่อยเปลี่ยนแปลงไปกับ t_{hp} ซึ่งผลการคำนวณที่ได้สอดคล้องกับผลการคำนวณของ Ryozo Echigo [3] เป็นอย่างดี

6.2 อิทธิพลของค่า u

รูปที่ 3 แสดงการเปรียบเทียบกับผลการทดลองที่ห้าย half-period ของความเร็วเชือเพลิงที่ $u = 0.082, 0.17, 0.33 \text{ m/s}$ ตามลำดับ โดยพิจารณาเฉพาะทิศทางการไหลของไอดีจากซ้ายไปขวา ที่ $\phi = 0.096$ $u t_{hp} = 5 \text{ m}$. ซึ่งเป็นการกำหนดให้ตำแหน่งของเปลวไฟคงที่ที่ทุกๆ ความเร็ว u พบว่า

เมื่อ \bar{u} เพิ่มขึ้นเป็นการเพิ่ม heat supply ให้กับระบบ จึงทำให้อุณหภูมิสูงสุดของระบบเพิ่มขึ้นตามการเพิ่มขึ้นของ \bar{u} แต่ถึงอย่างไรก็ตามเมื่อ \bar{u} เพิ่มขึ้นก็จะทำให้ อุณหภูมิของไอเสียเพิ่มขึ้นด้วย เนื่องจากการเพิ่ม \bar{u} ทำให้ convection loss เพิ่มขึ้นไปด้วยนั้นเอง ซึ่งผลการคำนวณที่ได้ค่อนข้างสอดคล้องกับผลการทดลองของ J.G. Hoffmann [4] เป็นอย่างดี



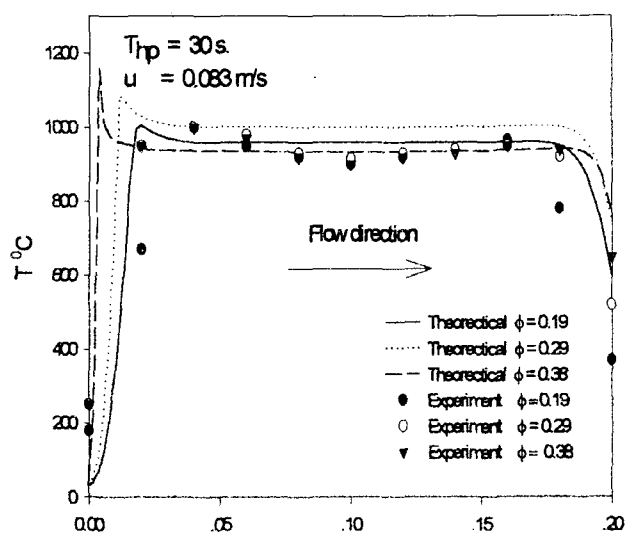
รูปที่ 3 อิทธิพลของค่า \bar{u}

6.3 อิทธิพลของค่า ϕ

รูปที่ 4 แสดงอิทธิพลของการเปลี่ยนแปลงค่า equivalence ratio (ϕ) ที่มีผลต่อโครงสร้างทางความร้อนของระบบ ที่ท้าย Half-period ที่ $\phi = 0.19, 0.29, 0.38 \text{ m/s}$ ตามลำดับโดยพิจารณาเฉพาะทิศทางการไหลของไอเดียร์ชายไปขวา ที่ $t_{hp} = 30 \text{ s. } u = 0.083 \text{ m/s}$ พนว่าเมื่อ ϕ เพิ่มขึ้นจะทำให้อุณหภูมิสูงสุดของการเผาไหม้และอุณหภูมิของไอเสียที่ทางด้าน downstream สูงขึ้นตามการเพิ่มขึ้นของ ϕ ซึ่งผลการคำนวณที่ได้ค่อนข้างสอดคล้องกับผลการทดลองของ J.G. Hoffmann [4] เป็นอย่างดี

7. สรุป

ผลจากแบบจำลองทางคณิตศาสตร์เพื่อศึกษาการเผาไหม้ในวัสดุพื้นของก้าชเชื้อเพลิง LPG แบบสลับทิศทางการ



รูปที่ 4 อิทธิพลของค่า ϕ

ไหลของไอเดียร์ชายเป็นจังหวะสามารถใช้กับก้าชเชื้อเพลิงที่มีความร้อนต่ำ แต่มีความเร็วในการไหลสูงได้ ซึ่งสามารถให้อุณหภูมิการเผาไหม้ที่สูงมากแสดงให้เห็นถึงศักยภาพในการทำงานที่สูง จากผลดังกล่าวสามารถสรุปได้ว่าถ้านำหลักการเผาไหม้ดังกล่าวไปประยุกต์ใช้กับเครื่องแลกเปลี่ยนความร้อนสู่อากาศก็น่าจะทำให้ได้เครื่องแลกเปลี่ยนความร้อนที่มีประสิทธิภาพสูง ซึ่งผลการคำนวณที่ได้ข้างต้นมีความสอดคล้องกับผลการคำนวณและผลการทดลองที่หาได้เป็นอย่างดี ดังนั้นเมื่อนำแบบจำลองทั้งสามไปพัฒนาเพื่อวิเคราะห์กรณีที่มีการทางความร้อนกันน้ำจะได้แบบจำลองที่ให้ผลลัพธ์ที่สอดคล้องกับผลการทดลองเป็นอย่างดีทั้งในแบ่งปริมาณและคุณภาพซึ่งจะได้ดำเนินการในลำดับต่อไป

8. กิตติกรรมประกาศ

งานวิจัยนี้ได้รับความสนับสนุนจากสำนักงานคณะกรรมการการการเงินนโยบายพลังงานแห่งชาติ(สพช.) ประจำปี 2542

9. เอกสารอ้างอิง

- [1] Hanamura, K. and Echigo, R., 1996, "Thermal Structure of Superadiabatic Combustion in Porous Media" *KSME-JSME Engineering Conference*, 20-23 October 1996, Kyongju, pp.339-342.
- [2] Hanamura, K., Echigo, R. and Zhdanok, S.A., 1993, "Superadiabatic Combustion in a Porous

Medium," International Journal Heat Mass Transfer, Vol.36, No.13, pp.3201-3209.

- [3] R. Echigo, G. Hoffmann, Shigeru Tada and Hideo Yoshida "Analytical study on flammable limits of reciprocating superadiabatic combustion in porous media", The collected papers of Ryozo Echigo, Vol.2, pp.1-174
- [4] R. Echigo, J.G. Hoffmann, H.Yoshida and S.Tada "Experimental Study on Combustion in Porous Media with a Reciprocating", The collected papers of Ryozo Echigo, Vol.2, pp.1-181